

SUPPLEMENTARY ELECTRONIC MATERIAL (APPENDIX 2)

ARDEOLA 69(2)

MONITORING ABUNDANCE AND DISTRIBUTION OF NORTHERN GANNETS *MORUS BASSANUS* IN WESTERN IBERIAN WATERS IN AUTUMN BY AERIAL SURVEYS

SEGUIMIENTO DE LA ABUNDANCIA Y DISTRIBUCIÓN DE ALCATRAZ ATLÁNTICO *MORUS BASSANUS* EN AGUAS IBÉRICAS OCCIDENTALES EN OTOÑO MEDIANTE MUESTREOS AÉREOS

Hélder ARAÚJO^{1*}, Pedro CORREIA RODRIGUES^{1,2}, Jorge BASTOS-SANTOS¹, Marisa FERREIRA¹, Andreia PEREIRA^{3,4}, José MARTÍNEZ-CEDEIRA⁵, José VINGADA¹ and Catarina EIRA^{3,4}

¹ Sociedade Portuguesa de Vida Selvagem, Estação de Campo de Quiaios, 3081-101 Figueira da Foz, Portugal.

² Escola Superior de Educação do Politécnico do Porto & inED - Centro de Investigação e Inovação em Educação, 4200-465 Porto, Portugal.

³ ECOMARE, Universidade de Aveiro, Estrada do Porto de Pesca, 3830-565 Gafanha da Nazaré, Portugal.

⁴ Department of Biology & CESAM, Universidade de Aveiro, 3810-193 Aveiro, Portugal.

⁵ Coordinadora para o Estudo dos Mamíferos Mariños (CEMMA), Apdo. 156-36380 Gondomar, Spain.

* Corresponding author: helder.araujo@socpvs.org

TABLE B1

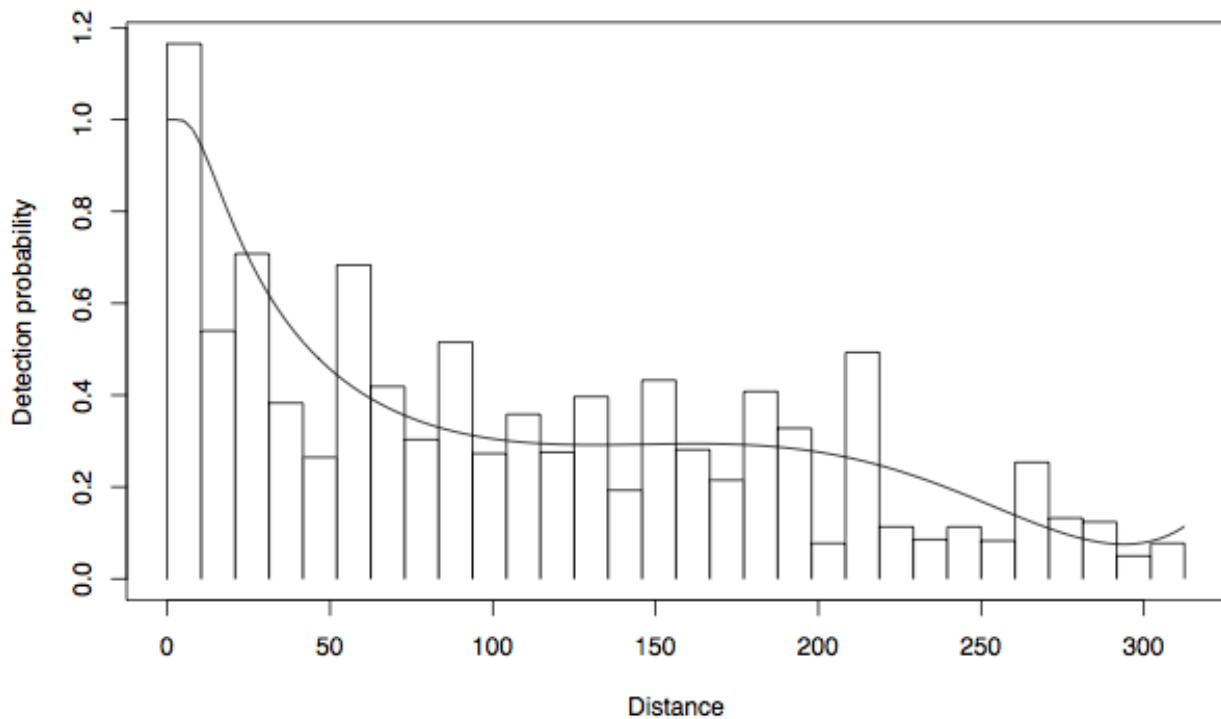
Variance in Northern Gannet density for all the surveyed years and sectors.
Values in percentages.

[Variación en la densidad del alcatraz atlántico para todos los años y sectores encuestados. Valores en porcentajes.]

		Detection probability (%)	Encounter Rate (%)	Cluster Size (%)
a)	Survey year			
	2010	18.9	80.4	0.7
	2011	16.9	82.5	0.6
	2012	20.6	78.6	0.8
	2013	18.6	80.7	0.7
	2014	12.9	86.6	0.5
	2015	17.8	81.5	0.7
b)	Survey sectors			
	Galiza	13.5	69.3	17.1
	North	29.0	67.8	3.1
	Centre	20.6	76.7	2.7
	Alentejo	19.1	74.8	6.2
	Algarve	16.9	81.4	1.7

Figure B1. Global detection function fitted to the distance data ($n = 3\,536$, Northern Gannet sightings) using the model combination Hazard-rate key with simple polynomial adjustments (distance in metres).

[Función de detección global ajustada a los datos de distancia ($n = 3\,536$, avistamientos de alcatraces atlánticos) utilizando la clave de tasa de riesgo de combinación de modelos con ajustes polinómicos simples (distancia en metros).]



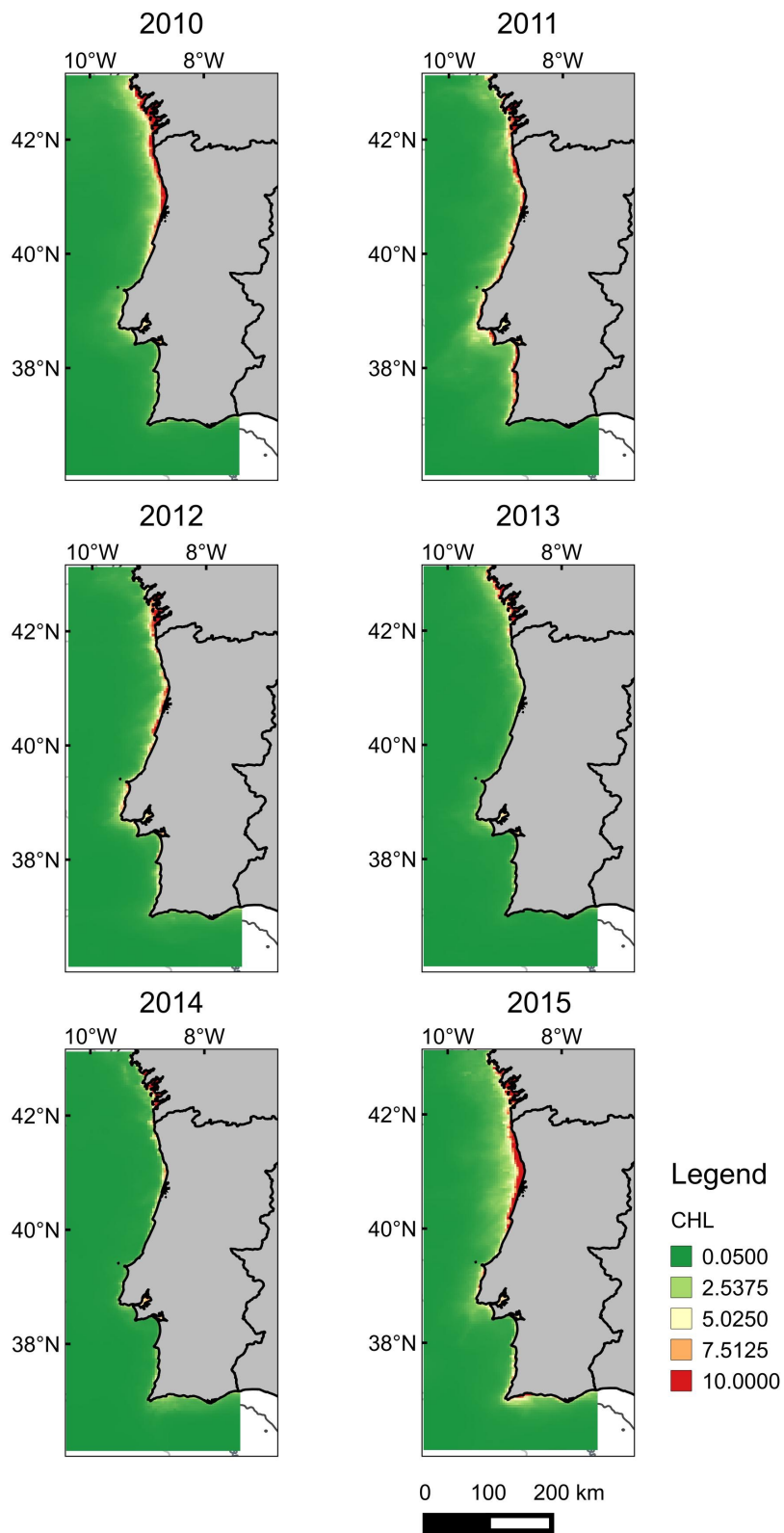


Figure B2. Chlorophyll mean concentration (mg/m^3) for each surveyed month. 2010 values are an average from September and October.

[Concentración media de clorofila (mg/m^3) para cada mes encuestado. Los valores de 2010 son una media de septiembre y octubre.]

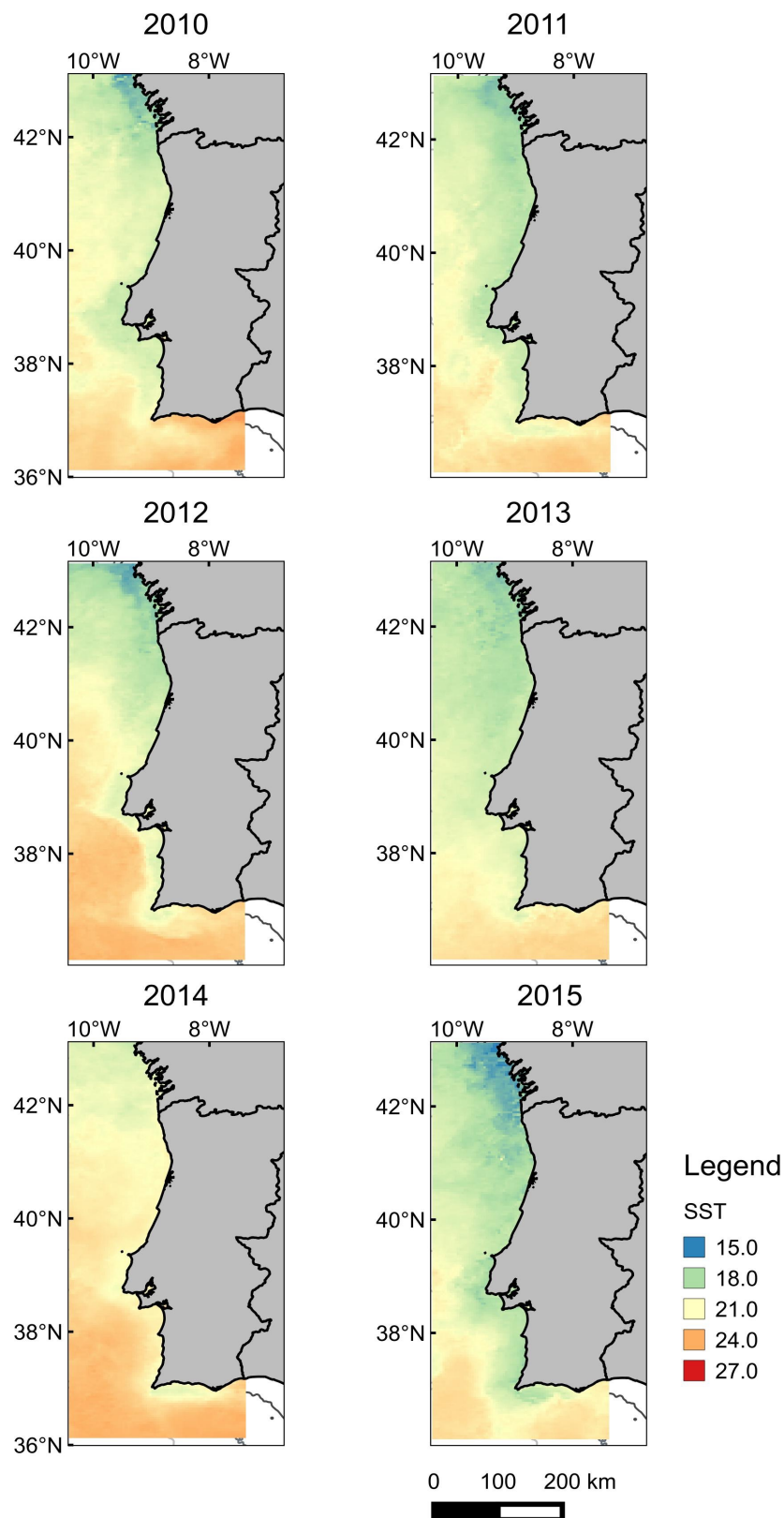


Figure B3. Mean Sea Surface Temperature (°C) for each surveyed month. 2010 values are an average from September and October.

[Temperatura marina superficial media (°C) para cada mes encuestado. Los valores de 2010 son una media de septiembre y octubre.]

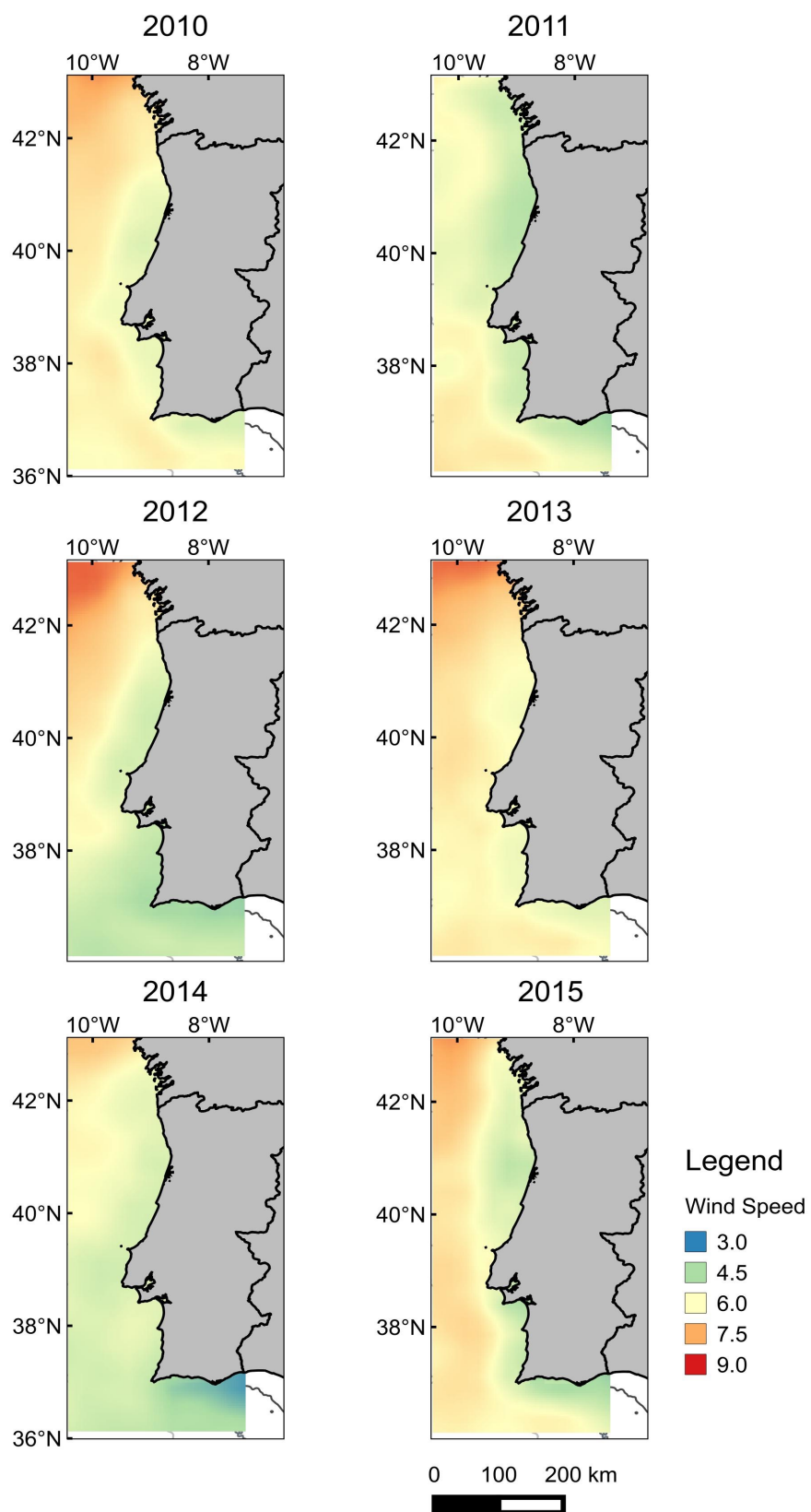


Figure B4. Wind Speed (m/s) for each surveyed month. 2010 values are an average from September and October.

[Velocidad del viento (m/s) para cada mes encuestado. Los valores de 2010 son una media de septiembre y octubre.]

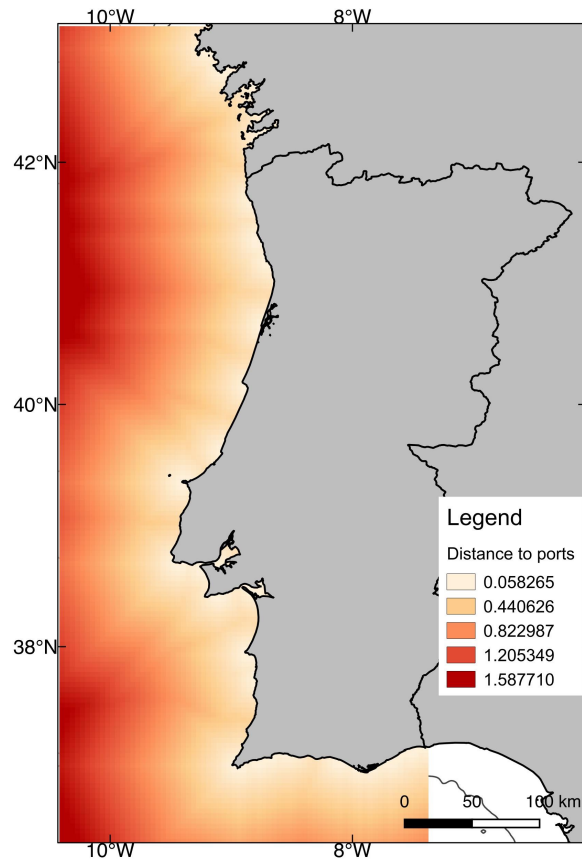


Figure B5. Distances to ports in the study area.
[Distancias a los puertos en el area de estudio.]

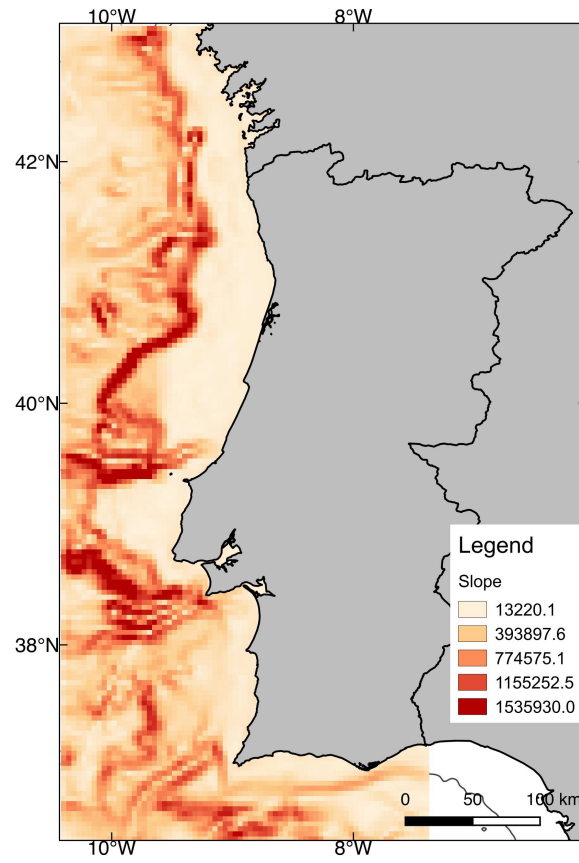


Figure B6. Slope of study area.

[Inclinación del area de estudio.]